

コンクリート系多径向高架橋の乾燥収縮・クリープ性状

大阪工業大学大学院 学生員 ○富田 耕司
 大阪工業大学 正会員 栗田 章光
 " " " 赤尾 親助

1. まえがき 近年、わが国におこりも、振動・騒音などの公害問題に対処するため、また、構造物の維持・管理の面で有利な多径向連続高架橋が注目されるようになつた。高架橋の形式には、けた形式、ランメン形式があり、また、上部構造としてRCけた、PCけた、合成けたおよびSRCけた等多種のものが用いられてゐる。ここでは、上部構造として純鋼けた以外の先に述べた種類のけたが用いられた多径向連続高架橋をコンクリート系多径向連続高架橋と呼ぶことにした。本文では、コンクリート系多径向連続高架橋個別の乾燥収縮・クリープ特性を検討した結果の一部を報告する。

2. 解法 解法の基礎式として、任意の時刻におけるコンクリートの応力～ひずみ関係式は Trost の提案したレラクセーション係数 (β) を含む式^{x1)} を用いる。数値的解析モデルにはこれは計算が容易な全断面方法を用いた。また、多径向連続構造の解析には剛性マトリックス法を用いた。

3. レラクセーション係数 (β) については Schade

$$\Delta R_n = \frac{-\varphi(t_n, \tau_0) - \sum_{i=1}^{n-1} \Delta R_i - \frac{1}{6} \sum_{i=1}^{n-1} [\varphi(t_n, t_{i+1}) + 4\varphi(t_n, \frac{t_{i+1}+t_i}{2}) + \varphi(t_n, t_i)] \Delta R_i}{1 + \frac{1}{6} [\varphi(t_n, t_{n-1}) + 4\varphi(t_n, \frac{t_{n-1}+t_n}{2})]}$$

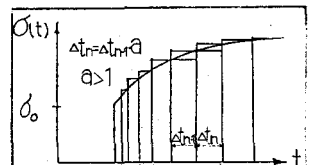
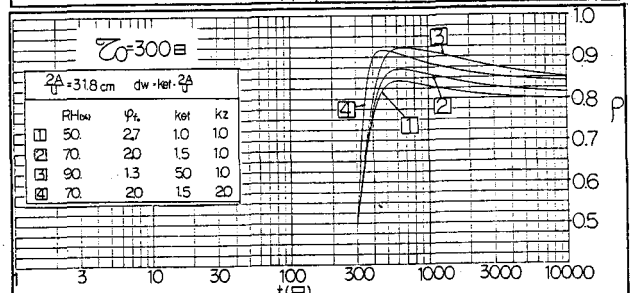
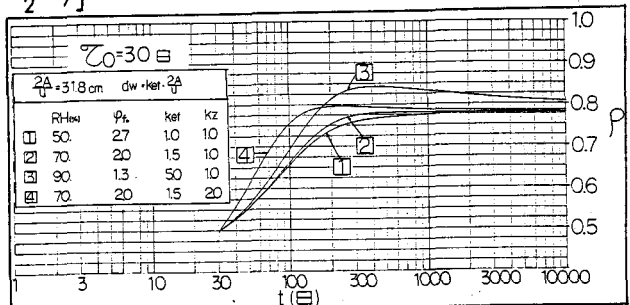


図1 応力の積分式

$$R(t_n, \tau_0) = R(t_{n-1}, \tau_0) + \Delta R_n$$

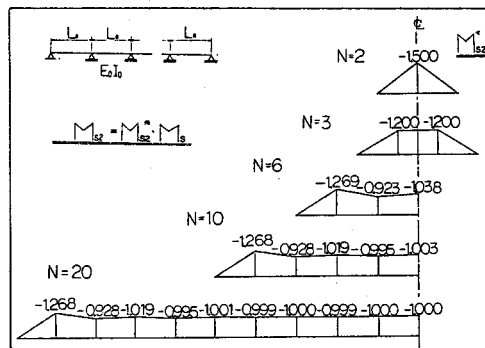
$$\beta(t, \tau_0) = \frac{1}{1 - R(t, \tau_0)} - \frac{1}{\varphi(t, \tau_0)} \quad \dots (1)$$

の方を使つた。Schadeによれば、変化する応力を図1のように区切つて、シノン式^{x2)}を用ひることによつて、 β は式(1)の算定式である。 β の計算結果の一例として DIN 4227(1978) のクリープ進行度を用ひ、初期載荷材令 (τ_0) が 30 日および 300 日の場合につき、4 種類の条件下の β の値を図2に示した。図2中 α の RH は平均相対湿度、 φ_{f0} は基本フリードム値、Kef は部材厚係数、Kz はセメントの硬化速度係数である。

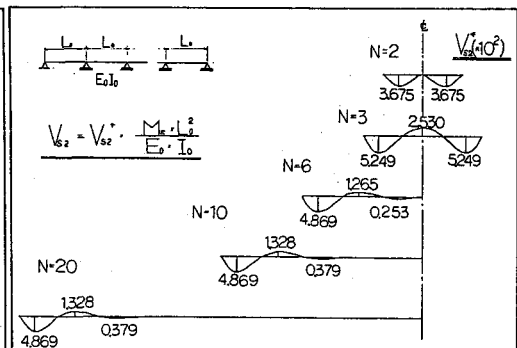
図2. 種々の条件下におけるレラクセーション係数 (β)

Kouzi TOMITA, Akimitsu KURITA, Shinsuke AKAO

3。一般
的初期
載荷材合
30日の場合,
 $\rho =$
0.8とし
ておき
よう。



3. 図3 乾燥収縮による曲げモーメント(連続合成けた)



4. 乾燥収縮によるたわみ(連続合成けた)

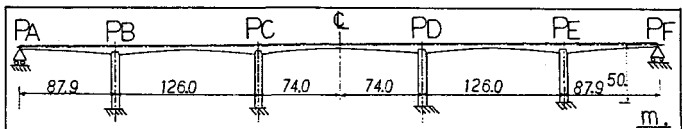
4. 計算例 まず、合成けた形式の場合に図11で計算した結果を図3、4に示した(乾燥収縮のH)。ここで、Nは経向数を、 M_s は

収縮による静定系の曲げモーメントを示す^{*2)}。 E_0 、 I_0 および L_0 はそれぞれ基準のヤング係数、接算断面2次モーメントおよび支脚長である。6経向以上になると乾燥収縮による不静定曲げモーメントおよびたわみとともに一定の傾向を示すことになり、最大曲げモーメントは、端部で静定系の-1.268倍の値となる。たわみの最大値も端入ハンジ最大値 $4.869 \times 10^2 M_s L_0^2 / E_0 I_0$ となることがわかる。

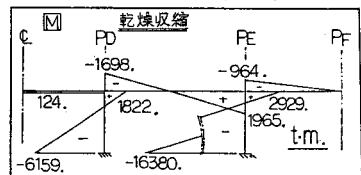
次に、図5に示す5経向連続PC高架橋に図11の計算結果を図6~9に示す。計算に当たっては各施工区間の材合差は考慮したが、完成系の状態で乾燥収縮・クリアランスが同時に進行するものとした。図7および9より、乾燥収縮およびクリアランスによる最大たわみは、中央経向中央で、左端で、15mmおよび44mm生じる。この計算例は図11の応力損失量およびその他の計算結果に図11とは講演当日申し述べる。また、今後、実際の施工段階に応じた計算を実施し、より詳細な検討を加えていくことを参考のこと。

5. あとがき 以上に2つの計算結果を示したが、他にも各種のコンクリート系多経向高架橋の温度変化、乾燥収縮およびクリアランス解析を実施し、設計資料とする種々のデータを得て図11の²⁾、11³⁾と統括して報告する予定である。

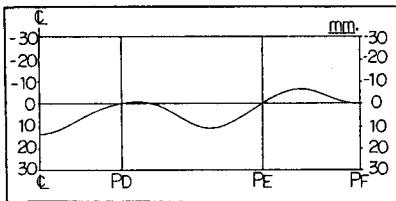
参考文献 *1) H. Trost : Der Stahlbau 38(1968), H.11.
年譜, 昭和59·5, I-75. *2) D. Schade : Beton- und Stahlbetonbau 72 (1977), H.5.



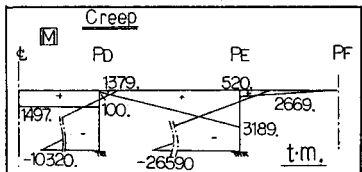
5. 5経向連続PC高架橋(图谷高架橋)



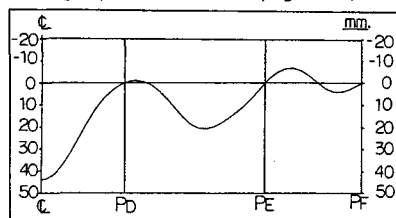
6. 乾燥収縮による曲げモーメント



7. 乾燥収縮によるたわみ



8. クリアランスによる曲げモーメント



9. クリアランスによるたわみ